

Abfluss

Aabach - Niederuster

ZH 554

Koordinaten 2 695 100 / 1 244 725

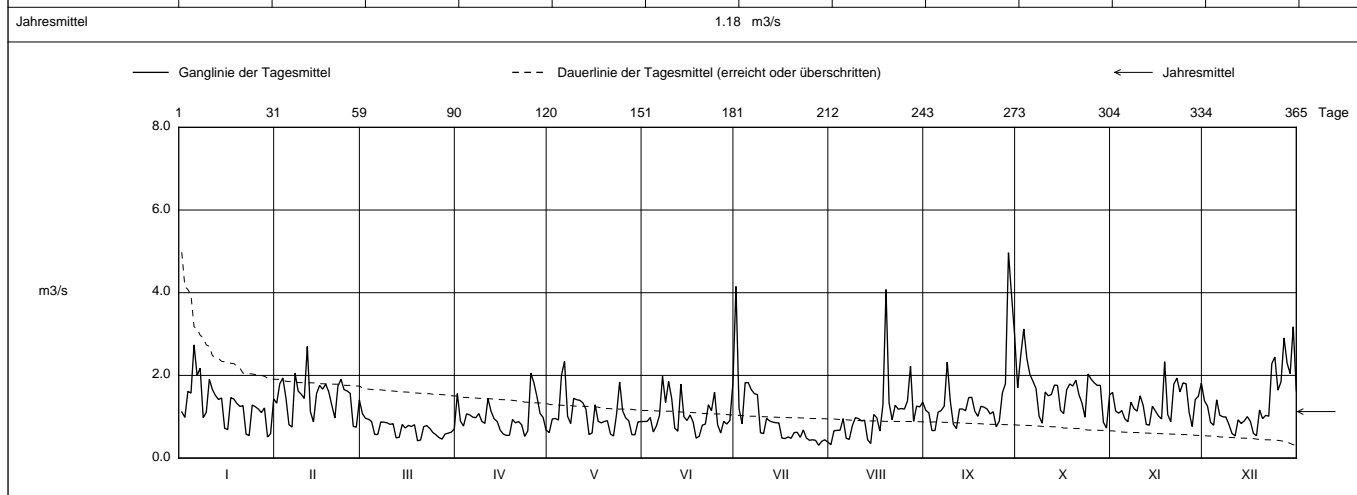
Stations Höhe 440.0 müM

Fläche 64 km2

Mittlere Höhe 621.0 müM

Vergletscherung - %

2022		Jan	Feb	Mar	Apr	Mai	Jun	Jul	Aug	Sep	Okt	Nov	Dez	
1		1.12	1.33	1.07 +	1.56	0.618	0.886	4.15 +	0.323 -	1.16	1.70	1.59	1.39	1
2		0.985	1.80	0.962	0.897	0.946	0.888	1.20	0.660	1.10	2.48	1.14	1.26	2
3		1.62	1.94	0.939	0.775	0.959	0.981	0.831	0.671	0.667 -	3.12 +	1.09	0.864	3
4		1.57	1.46	0.883	1.07	0.920	0.631	1.83	0.675	0.667 -	2.41	1.15	0.794	4
5		2.74 +	0.809	0.572	1.05	2.00	0.778	1.83	0.954	1.11	2.02	0.949	1.41	5
Tagesmittel														
6		2.00	0.749 -	0.570	0.993	2.34 +	1.03	1.66	0.479	1.15	1.86	0.877	1.04	6
7		2.17	2.05	0.874	0.975	1.01	1.98 +	1.56	0.452	1.25	1.68	1.35	0.998	7
8		0.975	1.62	0.869	1.08	0.834	1.34	1.54	0.783	2.32	1.01	1.20	0.994	8
9		1.11	1.54	0.854	0.886	1.45	1.85	0.613	0.979	1.38	0.843	1.14	0.811	9
10		1.91	1.44	0.816	0.840	1.41	1.44	0.593	0.955	0.816	1.60	1.51	0.596	10
11		1.66	2.70 +	0.832	1.44	1.40	0.726	0.960	0.902	0.716	1.51	1.27	0.535 -	11
12		1.51	1.12	0.491	1.13	1.34	0.650	0.899	0.916	1.19	1.54	0.814	0.926	12
13		1.42	0.874	0.503	0.951	1.18	1.79	0.871	0.442	1.19	1.77	0.797	0.836	13
14		1.45	1.56	0.813	0.886	0.570	1.00	0.855	0.355	1.15	1.76	1.26	0.899	14
15		0.720	1.76	0.727	0.676	0.606	1.00	0.851	1.05	1.46	1.16	1.14	1.00	15
m3/s														
16		0.687	1.67	0.791	0.582	1.29	1.04	0.484	0.976	1.47	1.07	1.02	0.887	16
17		1.46	1.79	0.763	0.550	0.888	0.874	0.472	0.653	1.13	1.65	0.947	0.596	17
18		1.43	1.60	0.808	0.550	0.852	0.481 -	0.511	1.30	1.01	1.79	2.33 +	0.541	18
19		1.32	1.28	0.418 -	0.932	0.886	0.530	0.480	4.08 +	1.25	1.74	1.05	1.17	19
20		1.25	0.972	0.439	0.852	0.905	0.797	0.617	1.34	1.23	1.89	0.879	0.954	20
21		1.27	1.74	0.759	0.884	0.584	0.822	0.624	0.927	1.19	1.54	1.79	1.03	21
22		0.579	1.91	0.788	0.806	0.535 -	1.29	0.503	1.28	1.07	1.33	1.94	1.01	22
23		0.543	1.66	0.717	0.525 -	1.07	1.15	0.679	1.18	1.12	0.989	1.60	2.28	23
+ Maximum														
24		1.28	1.62	0.619	0.657	1.84	1.59	0.486	1.20	0.757	2.03	1.82	2.44	24
25		1.24	1.57	0.564	2.05 +	1.14	0.807	0.431	1.18	0.897	1.91	1.80	1.64	25
- Minimum														
26		1.19	0.766	0.496	1.82	0.970	0.607	0.443	1.38	1.58	1.82	1.10	1.84	26
27		1.10	0.749 -	0.459	1.49	0.900	0.887	0.429	2.22	1.80	1.76	0.764 -	2.91	27
28		1.21	1.41	0.581	1.08	0.568	0.823	0.309 -	0.890	4.97 +	1.76	1.42	2.29	28
29		0.510 -		0.603	0.983	0.562	0.910	0.405	1.26	3.94	0.866	1.50	2.04	29
30		0.591		0.626	0.674	0.876	1.82	0.443	1.24	2.97	0.726 -	1.81	3.18 +	30
31		1.43		0.703		0.883		0.387	1.35		1.53		1.63	31
Monatsmittel		1.29	1.48	0.707 -	0.988	1.04	1.04	0.901	1.07	1.46	1.64 +	1.30	1.32	m3/s
Maximum (Spitze) Datum		5.59 10.	5.50 11.	3.20 - 22.	5.04 25.	11.5 5.	14.2 + 30.	13.7 1.	8.19 5.	8.71 28.	5.76 3.	6.03 18.	6.21 27.	m3/s
Jahresmittel		1.18 m3/s												



Periode	1980 - 2022 (43 Jahre)												
Monatsmittel	1.62	1.56	1.66	1.63	1.67	1.83 +	1.50	1.51	1.54	1.38 -	1.39	1.54	m3/s
Maximum (Spitze) Jahr	17.7 2017	19.8 2017	10.0 - 1988	25.8 2008	37.9 1999	31.0 2013	30.2 2014	44.3 + 1984	19.0 2000	15.4 2019	10.9 1998	16.1 2011	m3/s
Minimum (Tagesmittel) Jahr	0.32 2017	0.37 2006	0.40 + 2019	0.29 2017	0.21 1984	0.13 - 1984	0.16 2018	0.16 2018	0.24 2018	0.24 2018	0.20 2018	0.29 1995	m3/s
Periode	Grösstes Jahresmittel 2.18 (2002)			Periodenmittel 1.57				Kleinstes Jahresmittel 0.97 (2018)					m3/s

Dauer der Abflüsse (erreicht oder überschritten)													
Tage	1	3	6	9	18	36	55	73	91	114	137	160	
2022	4.97	4.08	3.12	2.74	2.28	1.85	1.76	1.60	1.50	1.35	1.23	1.13	m3/s
1980 - 2022	8.46	6.34	5.16	4.66	3.78	2.99	2.42	2.07	1.83	1.66	1.54	1.43	m3/s
Tage	182	205	228	251	274	292	310	329	347	356	362	365	
2022	1.04	0.962	0.897	0.864	0.797	0.720	0.624	0.568	0.484	0.442	0.387	0.309	m3/s
1980 - 2022	1.33	1.21	1.06	0.91	0.81	0.73	0.66	0.56	0.46	0.39	0.32	0.19	m3/s

Darstellung nach BWG Standard

Einzugsgebiet ohne Luppen.
 (Lediglich Trockenwetterabfluss der Luppen wird grösstenteils Richtung Pfäffikersee abgeleitet. Einzugsgebiet der Luppen bis zum Ableitungswehr: 9,3 km2).
 Ungleichförmiger Tagesabfluss infolge Wasserkraftnutzung.
 Seit Umbau der Messschwelle im August 2005 erhöhte Messgenauigkeit im Niederwasserbereich.